

## 技術報告

### 鍛造白鋳鉄ロールの材質特性と寿命\*

佐藤祐一郎\*\*・小平博\*\*\*

#### On the Application Results and the Properties of Forged White Cast Iron Roll

Yuichiro SATO and Hiroshi KOHIRA

##### Synopsis:

A great progress has recently been made in Japanese steel rolling equipments with the increase of production capacity and the improvement in the quality of products. And there are requirements for better roll materials. The forged iron roll whose trade name is N-T roll is the one having an entirely new material property, manufactured by carrying out a special hot forging on white cast iron body which has a composition range of high purity hypoeutetic pig iron. This report describes the characteristic properties of this roll, focusing upon the results of hot rolling of various steels by this roll.

The following characteristics of the roll were confirmed by the rolling application.

- (1) Rolling tonnage per dressing is remarkably increased.
- (2) The cycle of roll exchange for dressing is made unexpectedly longer and it contributed greatly to the increase of productivity.
- (3) Rolling cost is decreased.
- (4) Accuracy of dimension of rolled products is increased.
- (5) Surface of the rolled products becomes more beautiful.

(Received Aug. 25, 1970)

#### 1. 緒 言

白鋳鉄に熱間加工を加えると鋳造時の白鋳組織は機械的に完全に破壊され、共晶セメンタイトが基地中に分散して白鋳組織とは異なる特殊な鋳鉄組織（著者は変形レデブライト組織・Deformed ledeburite structureと呼んでいる）となる。このような組織をもつ鉄合金で作られた圧延用ロールが一般に NT ロールと呼称されて、ここ数年間に各種の熱間圧延用ロールとして使用されるようになつた。

近年わが国における圧延業界の長足な発展とともにない圧延用ロールはその性能、品質の面においても破格の高級化が要求されている。か酷な圧延条件に耐える性能のすぐれた新材質の圧延用ロールの開発は今後の重要な課題である。

本報は鍛造白鋳鉄ロールの材質特性を明らかにするとともにその使用結果について調査したので報告する。

#### 2. 鍛造白鋳鉄ロールの製造法

##### 2.1 白鋳鉄の熱間加工性

鋳鉄が鋼にくらべて塑性変形の困難なことは従来より衆知のことである。しかし今日一般的実用鋳鉄は熱間圧延、熱間プレス、組みあわせ圧延などによって塑性加工の可能なことが現象的には知られており<sup>1)</sup>、白鋳鉄の熱間加工に関する研究もみられる<sup>2)~12)</sup>。

図 1<sup>8)</sup>は 1% Cr 白鋳鉄および合金工具鋼の高温における変形能を示したものである。高温変形能は平行部の寸法が 10 mm  $\phi \times 60$  mm の試験片を 950~1 200°C の温度範囲で回転速度 50 rpm、変形速度  $0.436 \text{ sec}^{-1}$  でねじり、破断するまでのねじり回数であらわしたものである。1.7%C 以上の亜晶鉄の組成範囲に属する 1% Cr 白鋳鉄の高温変形能は Fig. 1 のように、いずれも 1 050 °C 付近で最も大きくなる。また 2.3~3.0% C の 1%

\* 昭和45年8月25日受付

\*\* 大平洋金属(株) \*\*\* 新日本製鉄(株)

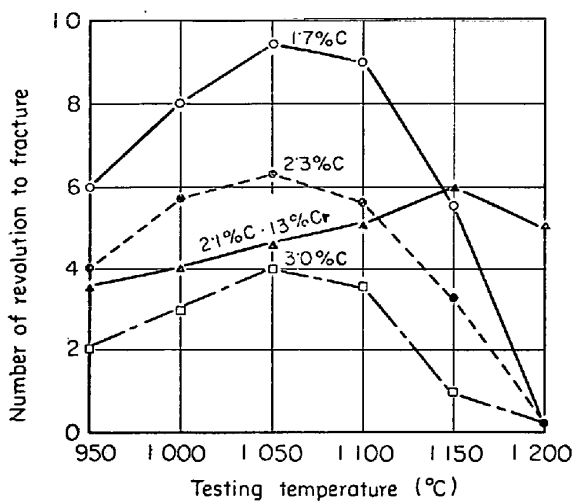


Fig. 1. Influence of temperature on hot workability of 1% Cr white cast iron and alloy tool steel.

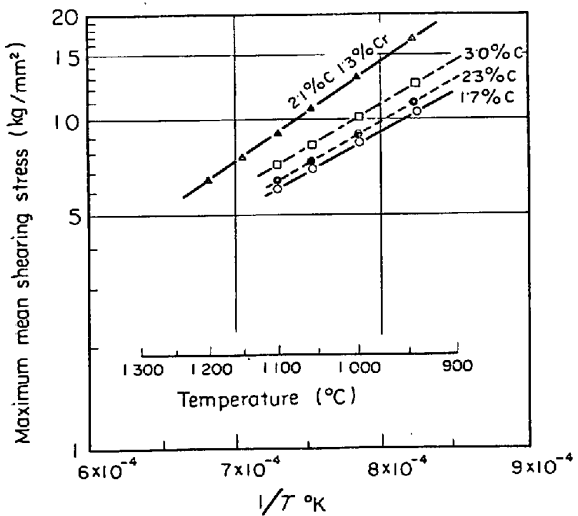


Fig. 2. Influence of temperature on hot deformation resistance of 1% Cr white cast iron and alloy tool steel.

Cr 白鑄鉄は 2.1% C · 13% Cr の合金工具鋼(JIS, SKD 1)の高温変形能とほぼ等しい。Fig. 2<sup>10</sup> は 1% Cr 白鑄鉄および合金工具鋼の高温における変形抵抗を示したものである。変形抵抗は最大平均剪断応力によって表示した。ここに最大平均剪断応力はねじり試験中にえられた最大トルクが試験片の平行部の全断面にわたって一定の剪断応力によって生ずると仮定しらわしたもので、最大トルクと最大平均剪断応力との間にはつぎのような関係がある。

$$T = \int_0^R \tau_{mr} \cdot 2\pi r \cdot r dr = 2/3\pi \bar{\tau} R_m^3$$

$$\bar{\tau}_M = 3.82T$$

ただし、 $\bar{\tau}_M$ ：最大平均剪断応力  $\text{kg/mm}^2$

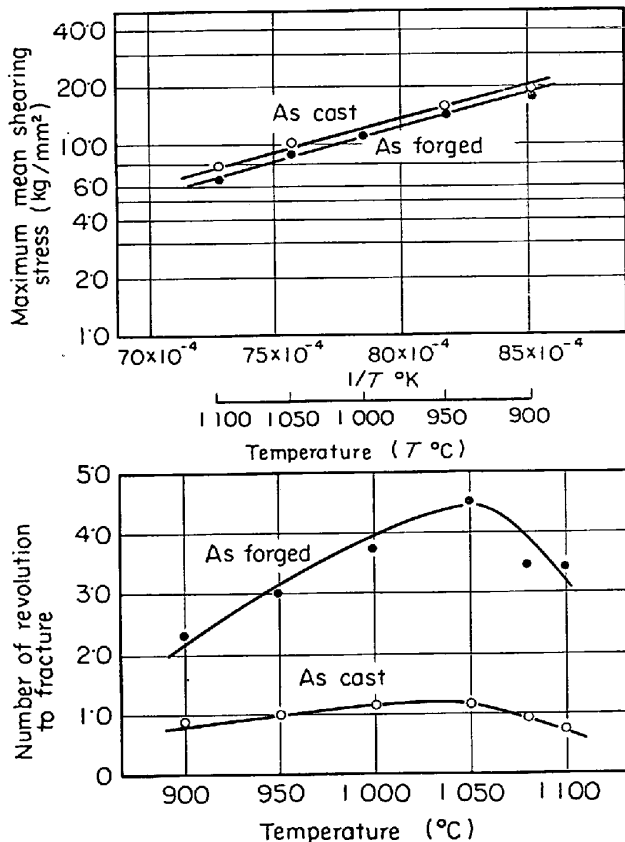


Fig. 3. Influence of temperature on hot workability and hot deformation resistance of 3% C · 1.5% Cr white cast iron as cast and as forged.

$T$ ：最大トルク  $\text{kg/m}$

$R$ ：試験片平行部の半径  $\text{mm}$

$r$ ：試験片平行部断面内の任意の半径

また最大平均剪断応力  $\bar{\tau}_M$  と試験温度  $T_K$  (絶対温度)との間には次のような関係が成立する。

$$\bar{\tau}_M = K \cdot e^{A/T_K}$$

$$l_n \bar{\tau}_M = A/T_K + C$$

ただし、 $K$ ,  $A$  および  $C$ ：常数

$$C = \log K \times 2.303$$

Fig. 2 に示すようにねじり温度 1050°C における 1% Cr 白鑄鉄の変形抵抗は、1150°C における 2.1% C · 13% Cr の合金工具鋼とほぼ等しいことがわかる。

白鑄鉄の熱間加工性は一般にその顯微鏡組織、化学成分、加工温度、変形速度などによって著しく変化するものである。Fig. 3<sup>10</sup> は 3.0% C · 1.5% Cr 白鑄鉄の鋳造後および鍛造後(鍛錬成形比 4 S)の破断ねじり回数、最大平均剪断応力とねじり温度との関係を示したものである。高温変形能は化学成分が同じでも鋳造材に比較して鍛造材のほうが 2 ~ 4 倍すぐれており、組織の変化が高温変形能に著しい影響を及ぼすことを示している。

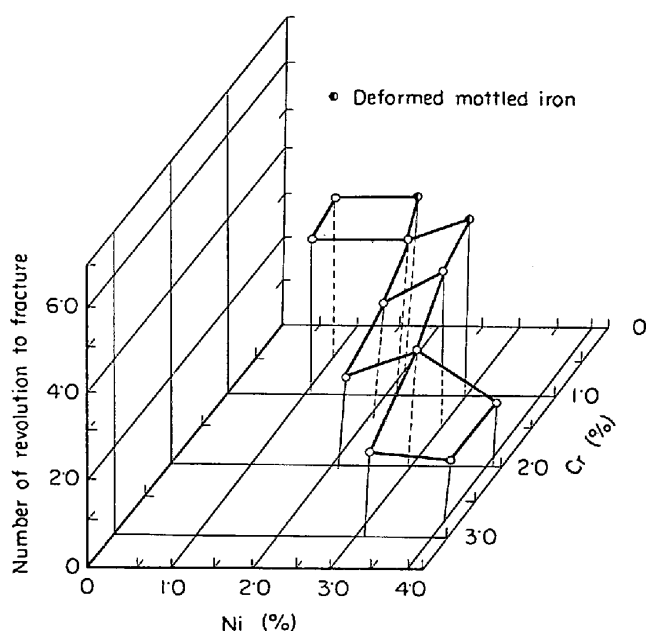


Fig. 4. Effect of Ni, Cr content on hot workability of 2.5% C white cast iron (1100°C).

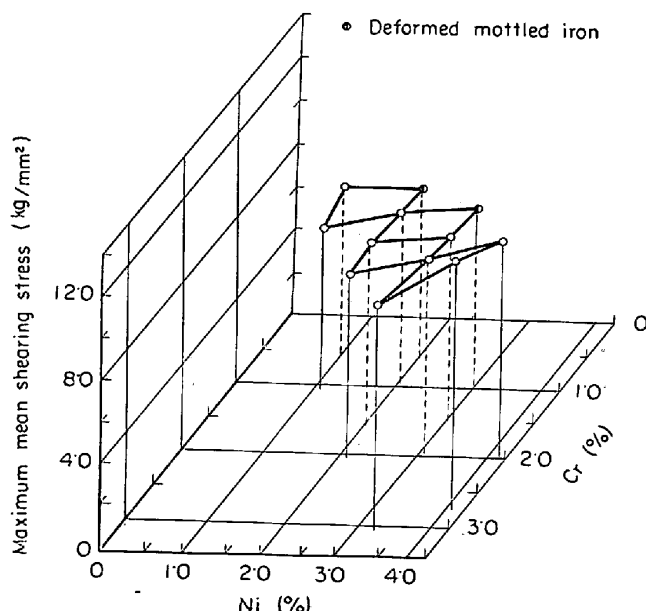


Fig. 5. Effect of Ni, Cr content on hot workability of 2.5% C white cast iron (1100°C).

Fig. 4<sup>13)</sup> および Fig. 5<sup>13)</sup> は 2.5%C 白鉄の 1100°C における破断ねじり回数、最大平均剪断力と Ni および Cr 含有量との関係を示したものである。熱間加工

性に及ぼす合金元素とくに Cr 含有量の影響は著しい。

白鉄が組織中にかたい共晶セメンタイトを多量に含有しているにもかかわらず、熱間塑性変形が可能なことについては白鉄中に存在する共晶炭化物の変形機構の究明<sup>14)</sup>が進むにつれて明確になるものと考えられる。

## 2.2 継造白鉄ロールの製造法

従来鉄系のロールは鉄造状態では材質的に脆弱なので、圧延用ロールとして必要な強靭性をもたせるための熱処理が施行されている。しかしこのような操作だけでは脆弱な鉄系ロールの材質特性を鋼のような韌性のある材質に変えることはむずかしい。

継造白鉄ロールは白鉄素材を熱間鍛造して鉄組織を機械的に破壊したのち、一般の鋼系ロールのような各種の熱処理を施行するという、これまでの鉄系ロールの製造法とはまったく異なる製造方法が採用されている<sup>15)</sup>。すなわち継造白鉄ロールは Mn, Cr, Mo, V, W などの炭化物を形成しやすい合金元素および Si, Ni, Co など基地を補強する合金元素を可及的少量含有する高純度の亜共晶鉄の成分範囲にある鉄組成物を単純な形状の白鉄鉄造物体に鉄造し、約 1050°C に加熱したのち熱間加工によって塑性変形（鍛錬成形比 1.5~5.0 S）させてロール形状の鉄成形物とし、焼入れ、焼ならし、焼もどしなどの熱処理を施して製造される。

Table I は継造白鉄ロールの化学成分と硬度を示す。NT-A 規格の継造白鉄ロールは微細ペーライト基地中に存在する共晶セメンタイト、初析セメンタイトなどセメンタイトの面積占有率が 40% 以下であり、NT-H 規格のものは 40% 以上をしめている。

## 3. 継造白鉄ロールの材質特性

### 3.1 顕微鏡組織

継造白鉄の顕微鏡組織は鉄造素材の化学成分によって著しく変化するが組織上から分類すれば<sup>16)</sup>つぎの 3 種類にわかれる。

(1) 変形レデブライ特組織 (Deformed ledeburite structure)

(2) 変形モットル組織 (Deformed mottled structure)

(3) 変形グラファイト組織 (Deformed graphite

Table I. Chemical composition and Shore hardness of forged cast iron roll.

Grade	C	Si	Mn	Cr	Mo	V	W	Ni	Co	Shore hardness
NT-A	1.7~2.4	<2.5	<1.0	<2.0	<2.0	<1.0	<1.0	<5.0	<5.0	35~65°
NT-H	2.4~3.4									45~75°

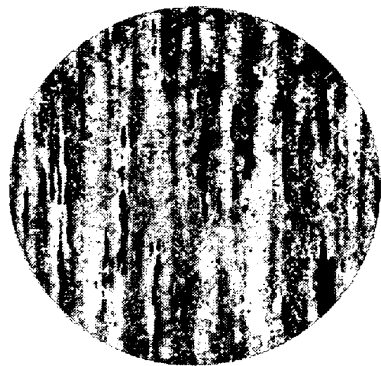
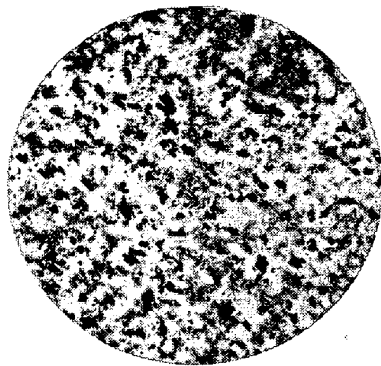
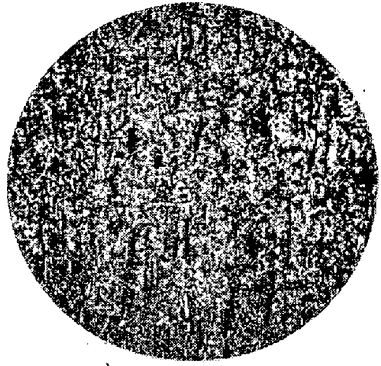
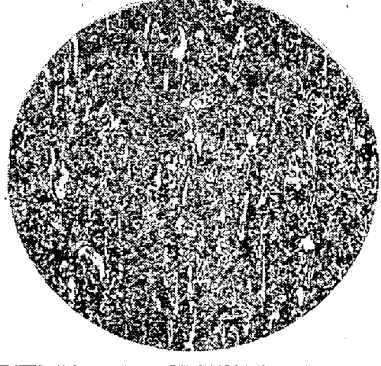
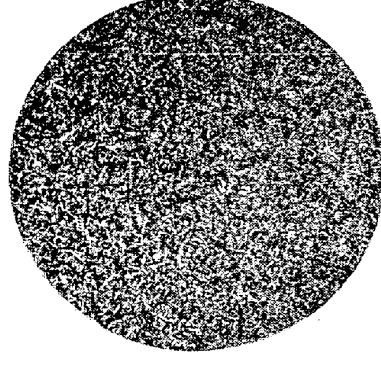
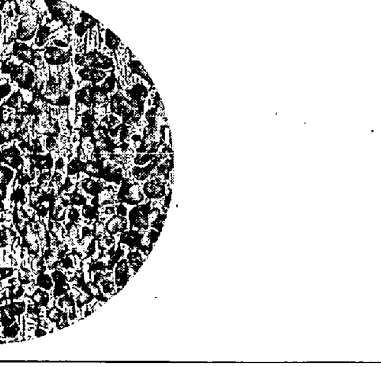
Structure	Tempered after forging		
	Microstructure tempered after casting	Deformed ledeburite structure	Deformed graphite structure
White cast iron structure			
Longitudinal			
Transverse			
Chemical composition	3% C · 1.5% Cr	3% C · 1.5% Cr	3% C · 0.5% Cr
Magnification	× 50	× 50	× 50
			x 50

Photo. 1. Structures tempered after casting and forging of 3% C white cast iron.

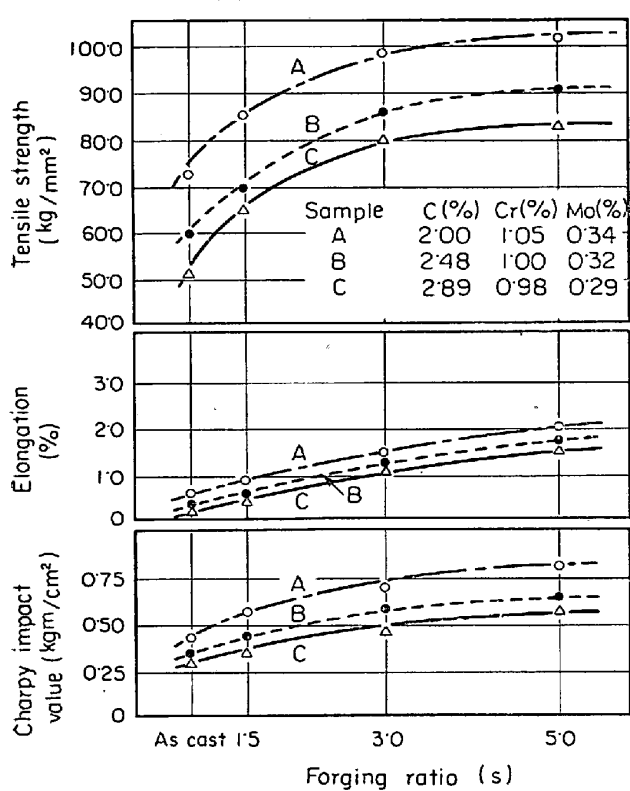


Fig. 6. Influence of forging ratio on mechanical properties of forged white cast iron (longitudinal).

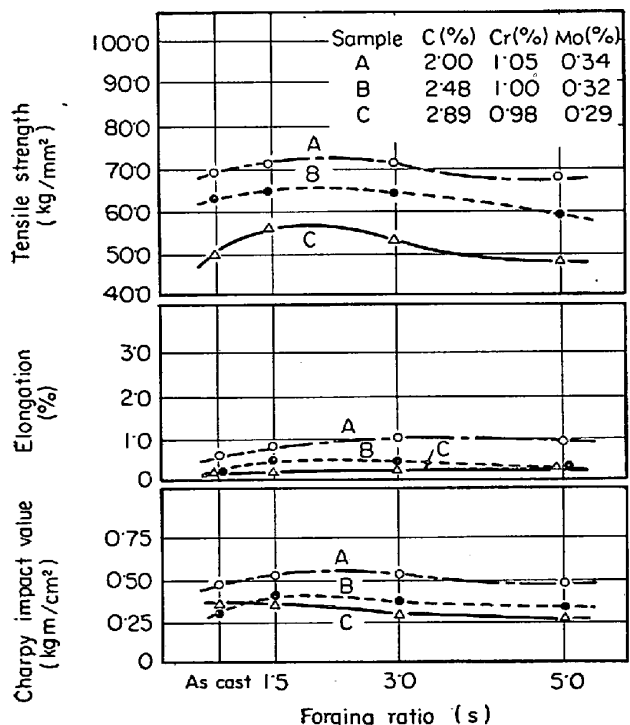


Fig. 7. Influence of forging ratio on mechanical properties of forged white cast iron (transverse).

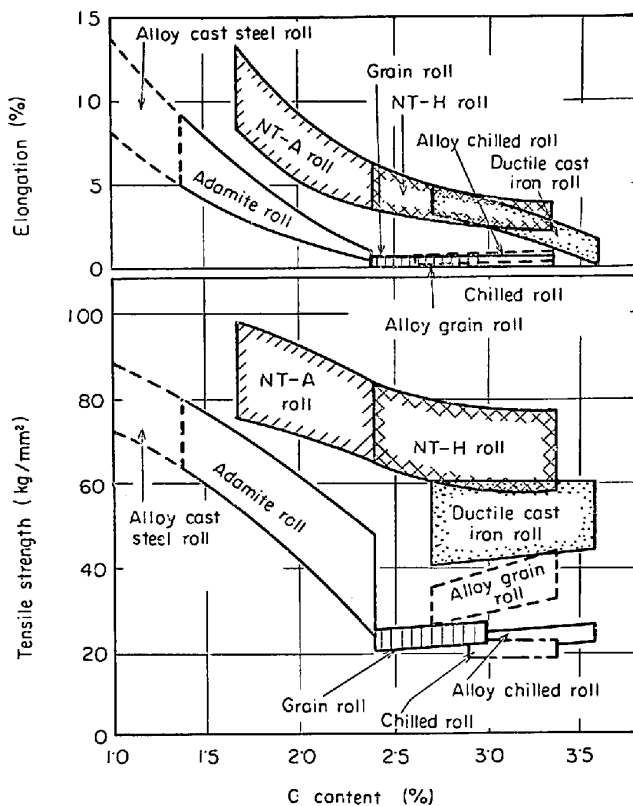


Fig. 8. Relation between carbon content and mechanical properties of forged white cast iron roll and other rolls.

structure)

Photo. 1 は 3 % C 白鋳鉄の鋳造後および鍛造後の焼なまし組織を示す。鍛造白鋳鉄ロールの顕微鏡組織は Photo. 1 の変形レデブライト組織が標準組織になつてゐる。すなわち鍛造後の白銑組織にみられるような網目状に析出したセメンタイト組織はみられず、セメンタイトが微細に破壊されて基地中に分散した鍛造白鋳鉄特有の変形レデブライト組織を呈し、一種の金属系複合材料的組織とみることもできる。また鍛造鋳鉄ロールの基地の組織は鍛造後の熱処理の差異によって微細パーライト、ベーナイト、マルテンサイトとなり、さらに少量の超微粒黒鉛が析出する。

### 3.2 機械的性質

鍛造白鋳鉄ロールは微細パーライト基地中に破壊された硬くて脆い共晶セメンタイトが鍛錬方向に纖維状に分散析出したあたかも複合材料的組織をもつロールであるから、機械的諸性質もこのよう特殊な組織をもつことによって特徴づけられている。図 6 および図 7 に鍛造白鋳鉄の機械的性質に及ぼす鍛錬成形比を示す。試料は塩基性電気炉で溶製した 2 t 白銑鋳塊を 1050°C に加熱し鍛錬したのち 30 mm φ 試験片を採取した。各試料とも

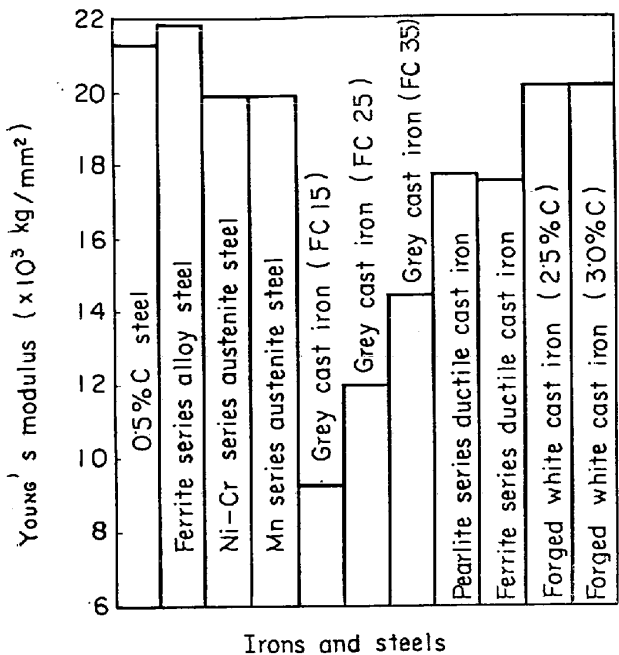


Fig. 9. YOUNG'S modulus of forged white cast iron and various iron and steels.

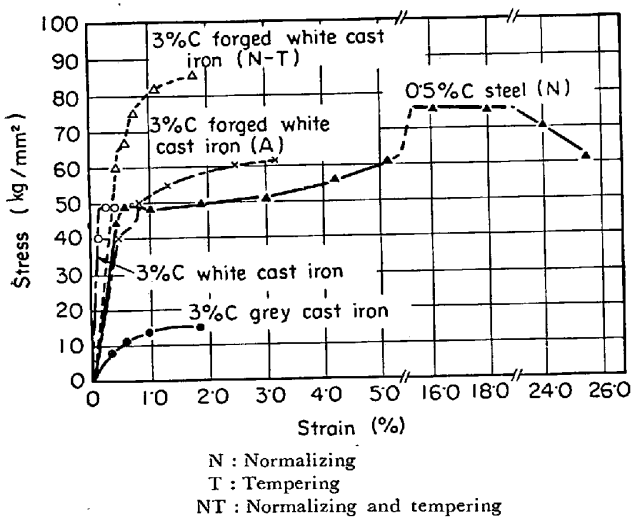


Fig. 10. Stress-strain diagrams of forged white cast iron and various iron and steels.

900°C × 1 hr 空冷, 570°C × 2 hr 空冷の焼ならし, 焼もどしをほどこしたものである。横方向にくらべて軸方向の鍛錬効果が特に著しいことがわかる。

図8は鍛造白鉄ロールの軸端部より採取した鍛錬方向の試料と一般の各種ロールの機械的性質を比較したものである。図に示すように鍛造白鉄ロールは炭素含有量が同じでも、ほかの鉄系ロールと比較して引張強さ、伸びとともに著しくすぐれており、むしろ鋼系ロールに匹敵する強靱性を有する。図9は各種鉄鋼材料と鍛造白鉄ロール材の弾性係数を比較したものである。鍛造白鉄

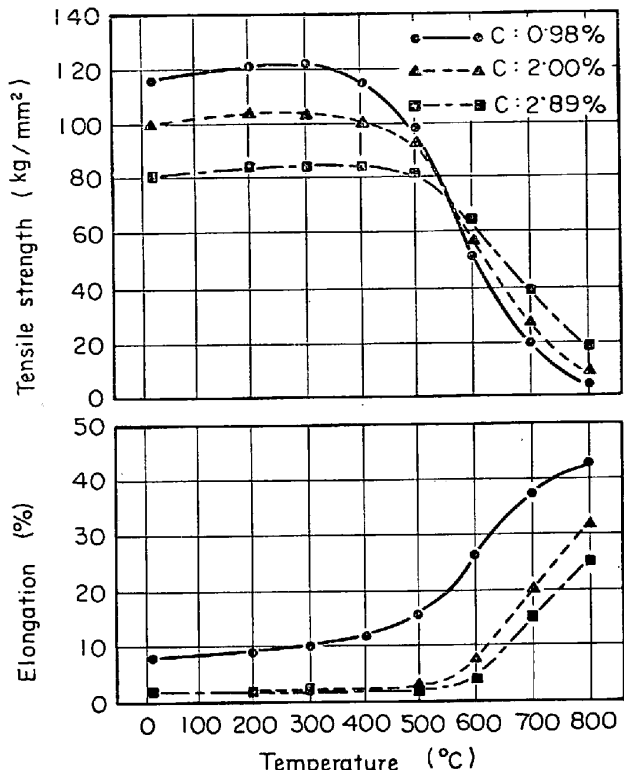


Fig. 11. Influence of temperature on tensile strength and elongation of forged white cast iron and Cr-Mo alloy steel.

ロール材の弾性係数はねずみ鉄および球状黒鉛鉄など鉄系材料に比較すると著しく大きく鋼にほぼ等しい値を示す。図10<sup>16)</sup>は鍛造白鉄ロール材と一般の鉄鋼材料との応力歪特性を比較したものである。鍛造白鉄ロール材は弾性変形域と塑性変形域の2つに明らかに区分され、降伏点も鋼と同様に明りよう認められる。白鉄が弾性変形限界で切離して塑性変形をせず、ねずみ鉄は1つの連続曲線状を呈して変形領域の区分が明確にあらわれないと比較して、鍛造白鉄ロール材の応力歪特性は鋼に類似している点は興味深い。また鍛造白鉄ロール材の降伏点が引張強さの約80%と高いのは一般の鋼材にみられない特性である。図11<sup>17)</sup>は鍛造白鉄ロール材とCr-Mo鋼材の高温強度を比較したものである。鍛造白鉄ロール材の高温引張強さは300～400°Cの温度範囲で最高値を示し、約550°C以上の高温域では1.0%C・1.0%Cr・0.3%Mo鋼よりすぐれた値を示す。鍛造白鉄ロール材の高温強度が鋼系のロール材に比較してすぐれているのは、高温で熱的安定度の高い微粒状の多量の炭化物が纖維状に分散析出することによる複合強化作用によるものと考えられる。

### 3.3 热処理性

鍛造白鉄ロールは白鉄を鍛錬成形したのち熱処理

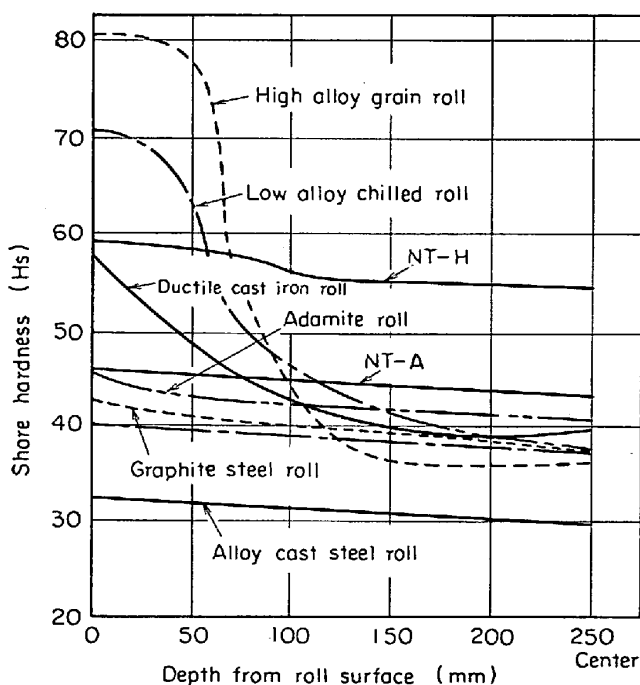


Fig. 12. Hardness distribution curve of various rolls.

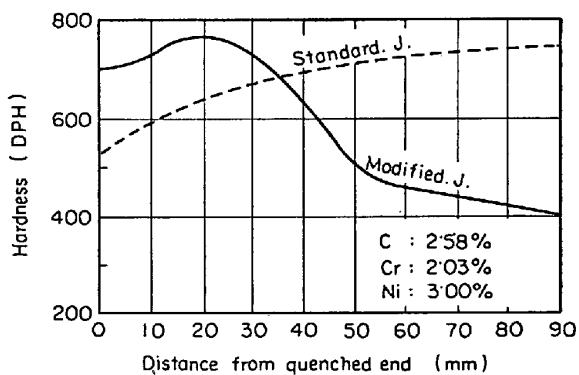


Fig. 13. Standard and modified Jominy curves of 2.6% C-2% Cr forged white cast iron.

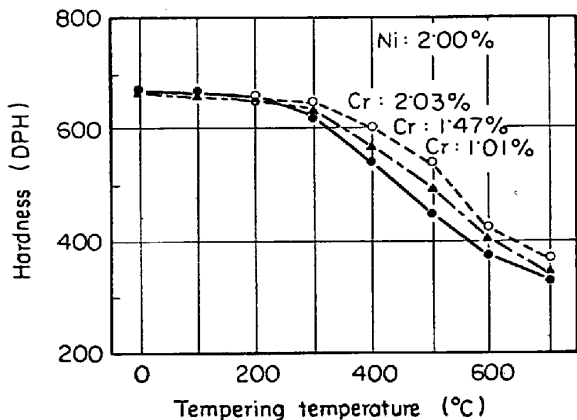
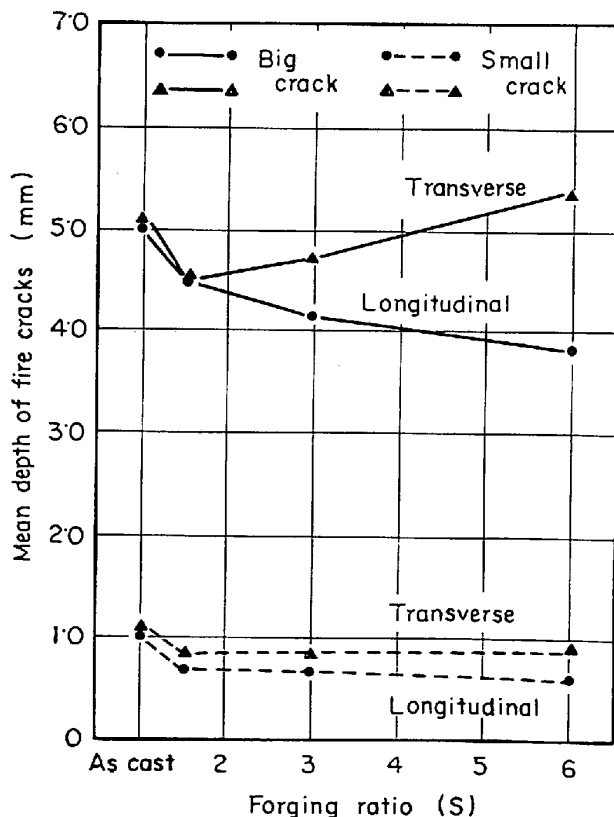


Fig. 14. Influence of Cr content on hardness of 2.5% C-2.0% Ni forged white cast iron as a function of tempering temperature.

を施して使用されるが、ロール胴部の断面硬度は表層部より内部に移行するにしたがつてしだいに低下する。

図12は鍛造白鋳鉄ロールと各種ロールの断面硬度分布を比較したものである。鍛造白鋳鉄ロールは鋳鉄系ロールと異なり表鋸部と中心部の硬度差が小さい。図13<sup>18)</sup>に鍛造白鋳鉄ロール材の標準およびモディファイド・ジョミニ特性を示す。鍛造白鋳鉄ロール材はすぐれた焼入性を有し、図に示す標準ジョミニ試験では空冷端においても硬度の低下はみられず、焼入性の評価は不可能である。モディファイド・ジョミニ試験に関しては従来より数多くの発表があり<sup>19)~22)</sup>、いずれもJISに規定されているような標準ジョミニ試験における空冷端の冷却速度を遅らせるものである。図に示すモディファイド・ジョミニ特性の冷却条件は800~500°Cの温度範囲で0.046°C/secであり胴径500mmφのロールの焼ならし熱処理におけるロール胴部表層部の冷却速度に相当させたものである。鍛造白鋳鉄ロール材の焼入性はNiおよびCrの複合添加によって著しく改善され、とくにCrは鍛造白鋳鉄ロール材の焼もどし軟化抵抗に顕著な影響を及ぼすものである<sup>23)24)</sup>。図14<sup>24)</sup>に2.5%C-2.0%



Temperature range of heat check: 600~450°C  
Number of heat check: 1 000  
Fig. 15. Effect of forging ratio on the growth of thermal fire crackings of 3% C-1% Cr-0.3% Mo forged white cast iron.

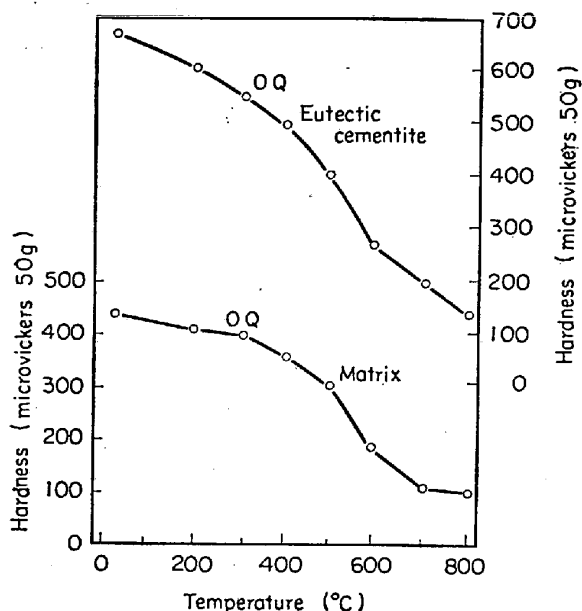


Fig. 16. Influence of temperature on microvickers hardness of 3% C - 1% Cr - 0.3% Mo forged white cast iron.

% Ni 鍛造白鉄ロール材の焼もどし硬度に及ぼす Cr 含有量の影響を示す。

鍛造白鉄ロール材が焼入性にすぐれ焼もどし軟化抵抗の大きいことは、熱間で使用される圧延用ロールとして一般の鋼系ロールにみられないすぐれた性能である。

#### 3.4 耐熱き裂性

熱間圧延用ロールの表面は圧延材による加熱と冷却水による冷却が急激に繰り返され、熱応力による一種の疲労破壊によって微細なき裂が発生する。基地中に炭化物が存在するとこの炭化物がき裂の起点となつてその生長を促進する<sup>25)</sup>こともあるが、基地中の炭化物の存在形態によつて熱き裂の発生は著しく変化する。

ロールの表面に発生するき裂にはき裂の幅および深さが太くて大きいものと、細かくて小さなもの 2 種類があり大クラックは熱サイクルの初期にすでに発生するものである<sup>26)</sup>。図 15<sup>26)</sup> は 3.0% C - 1.0% Cr - 0.3% Mo 白鉄の熱き裂の発生に及ぼす鍛錬成形比の影響を示したものである。大クラックの平均深さは鍛錬成形比が大きくなるほど鍛錬方向では浅くなるが、横方向では鍛錬成形比が 6 S をこえると逆に鍛造していない白鉄よりもき裂の発生が大きくなることがわかる。このような方向性は鍛錬が進むにしたがつておこる炭化物の纖維強化機構に関係するものと考えられる。

熱き裂の発生を抑制するには材料の諸特性とくに高温における引張強さ、降伏点、伸びなどの機械的性質のすぐれている材料が望ましい<sup>27)</sup>といわれており、鍛造白鉄

ロールの耐熱き裂性はこの面においてもすぐれた性能を有することが認められる。

#### 3.5 耐摩耗性

熱間圧延用ロールは硬度の高いロールが必ずしも耐摩耗性が大きいとは限らない。たとえば鋼系のロールは焼入れ、焼もどしなどの熱処理によつていくら硬度を高くしても圧延時の繰り返しの加熱、冷却による熱変化にたいして組織の安定性が小さいためそれほど効果がない。したがつてすぐれた耐摩耗性をうるためには熱的安定度の高い炭化物が析出して、しかも高温強度の大きい材質が望ましいとされている。

図 16<sup>28)</sup> は 3.0% C - 1.0% Cr - 0.3% Mo 鍛造白鉄ロール材の高温微小硬度測定結果を示す。すなわち鍛造白鉄ロール材の焼入試料を日本光学製高温微小硬度計を用いて共晶炭化物および基地の硬度を測定した結果、A<sub>1</sub> 点近くでは著しく硬度が低下することが認められた。熱間圧延用ロールの胴部表層部は圧延中に被圧延材からの熱影響によつて温度が上昇する。冷却水による冷却条件が悪い場合にはロール表層部の温度は A<sub>1</sub> 点近くまで上昇があるので、鍛造白鉄ロールの実際使用面においてすぐれた摩耗性をもたらせるためには、十分な水冷が必要である。

従来耐摩耗性と強靭性の間にはそれぞれ相反する面があり、同時にこれを満足させることはむずかしいといわれてきた。鍛造白鉄ロールは高硬度の変形共晶セメントイトが纖維状に分散析出した複合強化組織を呈するので、耐摩耗性と強靭性を同時にかね備えた特性をもつロール材である<sup>29)</sup>。

### 4. 鍛造白鉄ロールの寿命

#### 4.1 分塊用ロール

分塊用ロールは一般にかなり高い圧延荷重が作用するので、従来鍛鋼系ロールが使用されていた。しかし鍛鋼ロールは摩耗しやすいことと胴部表面にきつ甲状のき裂が発生するところに難点があつた。最近ダクタイルロールが鍛鋼ロールに劣らない強さがあるために、中形連続分塊圧延用粗、中間ロールとして用いられるようになり圧延成績が向上した。また特殊製法による高硬度の鋼系中抜ロールが分塊ロールとして良好な成績をおさめている。しかし分塊ロールに要求される強靭性と耐摩耗性はそれぞれ相反する性質があり、これらの性質を同時に満足させることはなかなか困難である。

Table 2 は中形連続分塊圧延用に使用された鍛造白鉄ロールの圧延実績を示したものである。中形連続分塊圧延用ロールとして NT-A および NT-H ロールが合

Table 2. Results of application of forged cast iron roll  
(medium continuous billet mill).

	Ex. 1		Ex. 2	
Grade	Alloy cast steel	NT-A	Ductile	NT-H
Hardness (Hs)	35~40°	39°	57~63°	55°
Classification	No 2 stand roll		No 4 stand roll	
Roll size (dia) × (length) (mm)	590×1300		560×1300	
Dressing (mm)	38.8	17	27.7	8
Number of dressing times	7	6	9	4
Rolled products per one dressing (t)	31 000	65 852	31 400	71 716
Rolled products per one mm of dressing (t/mm)	5 600	23 235	10 200	35 850
Total rolled products (t)	21 700	395 114	282 600	286 864
Ratio of t/mm (%)	100	415	100	351
Note		Under using now		Under using now

Table 3. Results of practical application of forged cast iron roll (steel shape mill).

	Ex. 1		Ex. 2		Ex. 3	
Grade	Alloy cast steel	NT-A	Adamite	NT-A	Alloy ductile	NT-H
Hardness (Hs)	35~40°	40°	57~58°	52°	60°	60°
Classification	Middle roll in 3-high roughing mill <125×65×6		Intermediate stand roll 175×75×9~6		Fence post roll in finishing stand	
Roll size (dia.) × (length) (mm)	648×1500		437×1000		461×900	
Dressing (mm)	16	60	30	28	18	32
Number of dressing times	3	12	5	7	3	7
Rolled products per one dressing (t)	1 429	1 766	3 500	11 000	200	814
Rolled products per one mm of dressing (t/mm)	268	358	583	2 750	33	178
Total rolled products (t)	4 287	21 192	17 500	77 000	600	5 696
Ratio of t/mm (%)	100	142	100	472	100	539

金鉄鋼ロールおよびダクタイルロールの代わりに、同一圧延条件のもので使用された結果、改削量1mm当たりの圧延t数(t/mm)が数倍向上した。また、折損事故は解消され、さらに耐肌荒れ性、耐摩耗性ともに良好であることから従来1週間でロール組替えを行なつていたものを4~6週間に延長することが可能となり、ロール原単位も約1/2~2.5に低減し、同時に工場の生産性向上に寄与している。

一例としてFig. 17およびPhoto. 2は中形連続分塊No 4スタンドにおける従来ロールと鍛造白鉄ロールの摩耗測定結果および肌荒れ状況の比較を示す。延長することによるメリットは大きい。

#### 4.2 形鋼用ロール

一般に形鋼はカリバーロールによつて圧延される。したがつてロールの断面の硬度差が少ないことが望ましい。また胴折れ、カリバー欠損、フランジ欠損などの起

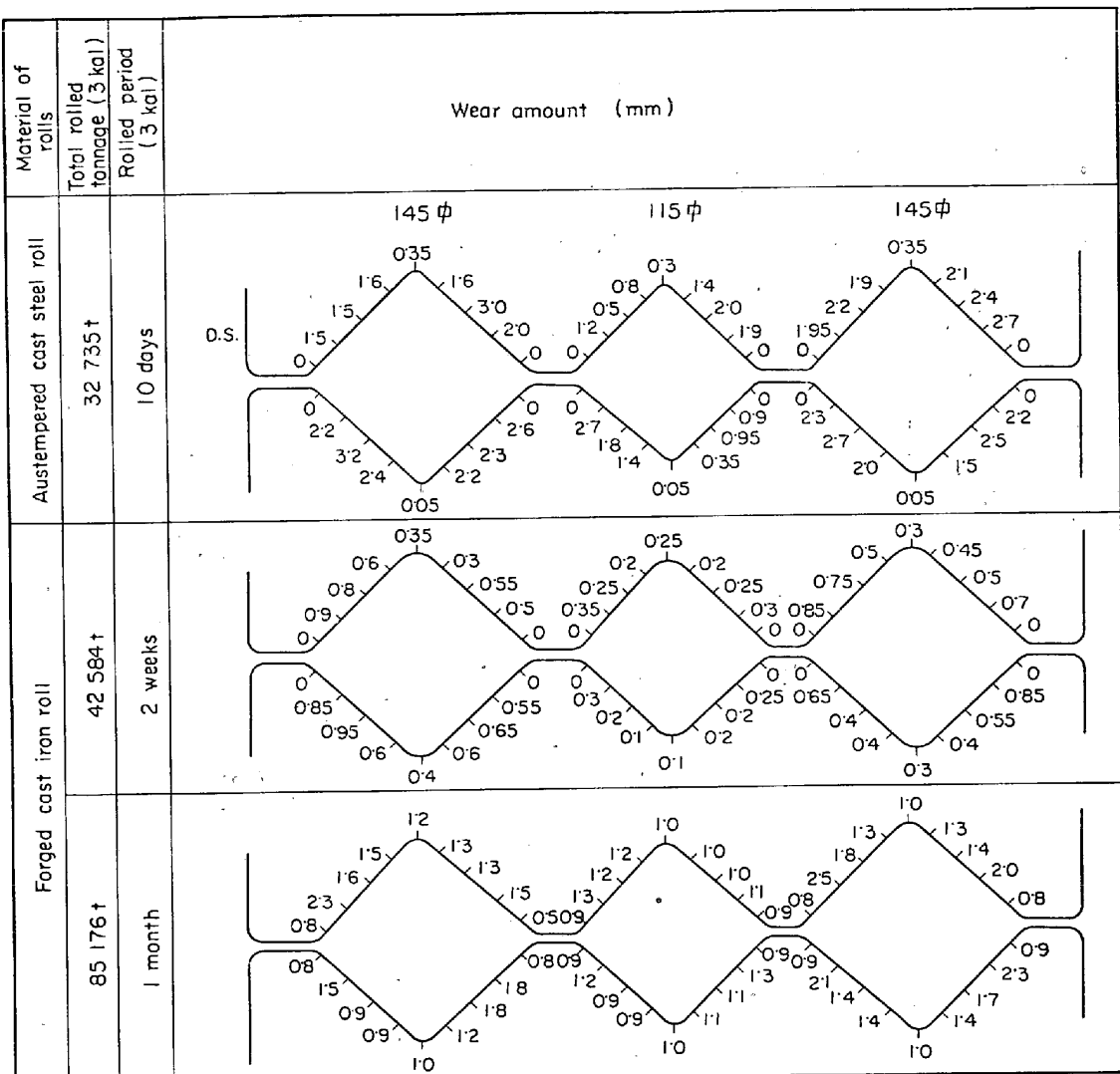


Fig. 17. Wear amount of cast steel roll and forged cast iron roll.

こらない強靱性を有することも形鋼用ロールに要求される重要な性質の一つである。

グレン系ロールは片状黒鉛が析出した鑄鉄系ロールであるため機械的強度が脆弱であり、カリバーが深く強靭性を要する形鋼用ロールには使用できない。ダクタイルロールはグレン系ロールよりも強靭性の面ですぐれているので、大きな圧延荷重にも耐える。しかし深いカリバーを削る場合カリバー底部の耐摩耗性はグレン系ロールと同じように深部ほど劣るから偏差摩耗が生じやすい。アダマイトロールは強靭性にとみしかも断面の硬度落ちが少ないので深いカリバーを削り出しても偏差摩耗が少ない。また組織中に遊離セメンタイトが存在しているので鑄鋼系ロールよりも耐摩耗性がすぐれている。しかし一般に鑄鉄系ロールに比較してアダマイトロールは表面硬度が低いのが欠点である。

これらのロールはそれぞれ長所、短所があり、形鋼用

ロールに要求される性質を十分に満足するまでにはいたつていよい、Table 3 に形鋼圧延用ロールの圧延実績を示す。鍛造白鋳鉄ロールは鋳鋼ロールに匹敵する強靱性をもち、すぐれた耐摩耗性と硬度落ちが小さいという特性からして、Table 3 の圧延実績にもみられるとおり形鋼用ロールとしてぐ備すべき諸条件をかね備えた材質といえる。

一例として鍛造白鋳鉄ロールを山形鋼 450×50 仕上ロールおよびH型鋼圧延用水平スリーブロールに使用した場合のロール肌荒れ状況および摩耗測定結果をそれぞれ Photo. 3, 4 および Fig. 18 に示す。

### 4.3 線材用ロール

最近の線材圧延設備は近代化にともない自動化、高速化が進み、ロールにたいする材質的 requirement も厳格になつてゐる。現在国内では粗圧延に低硬度のダクタイルロールおよびアダマイトロール、中間圧延に中硬度の合金ダク

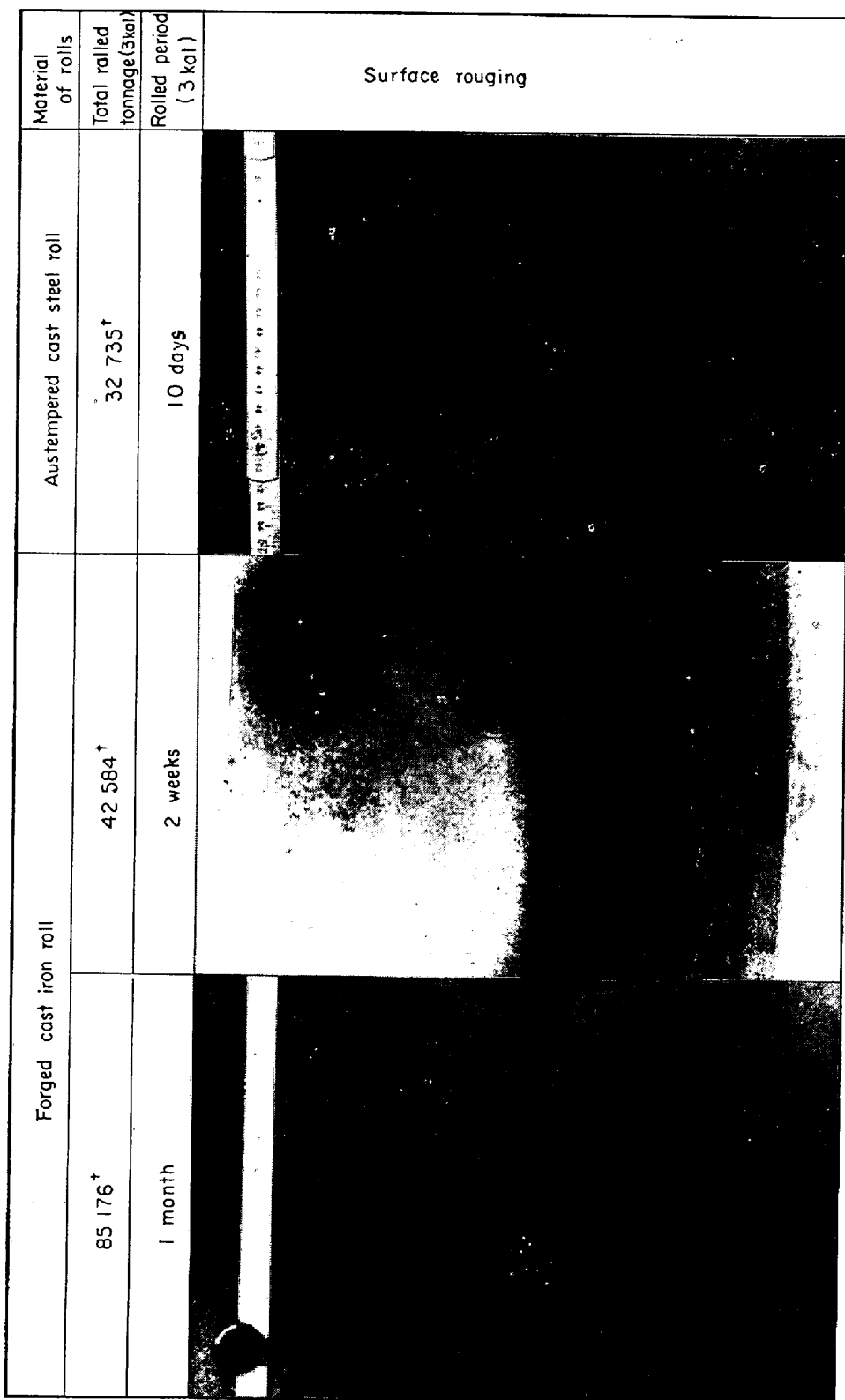


Photo. 2. Surface roughing of cast steel roll and forged cast iron roll.

タイル、仕上圧延に高硬度の合金チルドロールが使用されている。粗圧延はか酷な熱衝撃を繰り返しうけるので肌あれが著しい。肌あれの点からみれば鍛鋼系のロールが適しているが摩耗が多く、一般には低硬度のダクタイ

ルロールが広く使用されている。

Table 4 に線材圧延用ロールの圧延実績を示す。表に示すように  $t / \text{mm}$  が数倍に向かっていることは、鍛造白鑄鉄ロールの材質特性が線材用鋼片および粗圧延ロー



Photo. 3. Surface roughing of forged cast iron roll.  
(Finishing roll for angle 450×50)

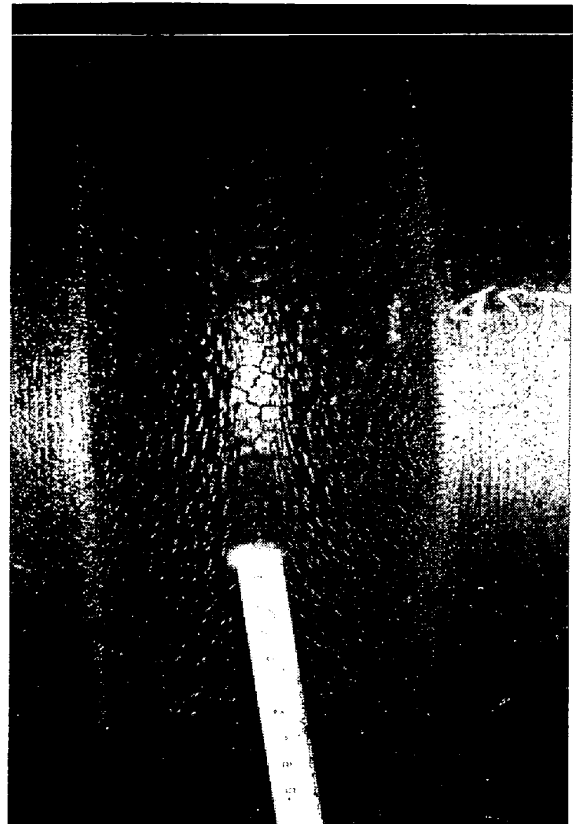


Photo. 5. Surface roughing of forged cast iron roll.

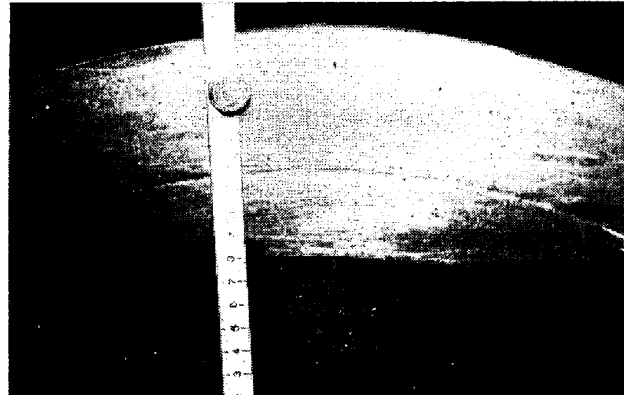


Photo. 4. Surface roughing of forged cast iron roll.  
(H 250×125 V<sub>5</sub>H roll).

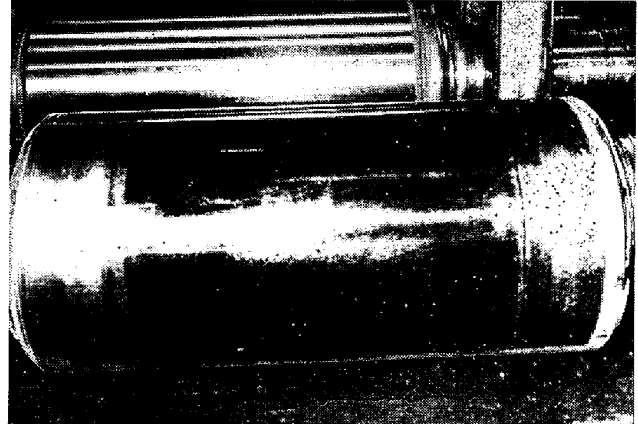


Photo. 6. Surface roughing of forged cast iron roll.  
(Hot strip mill, finishing No 1 work roll).

ルとしてすぐれた性能を発揮する材質特性をもつてゐることを示している。

とくに鍛造白鉄ロールは発生応力の大きい線材用粗スタンンドに適用するとき胴部、頸部からの折損事故は解消し、耐摩耗性、耐肌荒れ性ともに良好であるためロール組替周期は従来の1～2週間を4～5週間に延長し生産性の向上に寄与している。Photo. 5は線材粗ロールに適用した鍛造白鉄ロールの肌荒れ状況を示す。

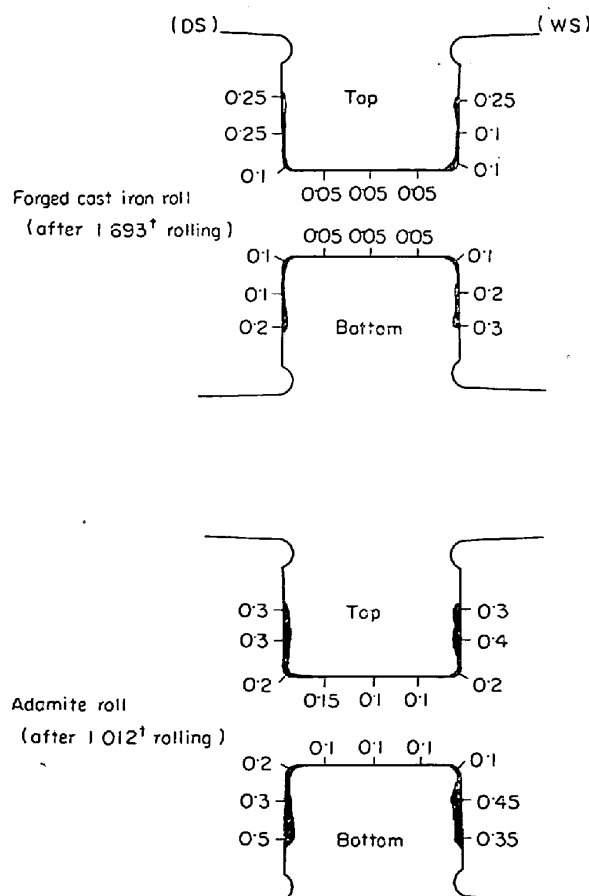
#### 4.4 ホットストリップ用ワークロール

ホットストリップミルは初期にはワークロールとしてチルドロール、合金グレンロール、合金ダクタイルロールなどの鉄系ロールが使用されたが、これらのロールは粗および仕上前段ワークロールに使用するとチルハ

ゲ、折損、バンディング、スリップなどを起こしやすく高品質の圧延品をうるには問題が多かつた。現在ではわが国のホットストリップミルラインのほとんどすべてが粗および仕上前段ワークロールとしてアダマイトロール(Hs 45～55°)、仕上後段ワークロールとして中抜高合金グレンロール(Hs 75～85°)を使用している。しかしながら後工程の酸洗い、メッキ、塗料のコーティングなどの表面処理にまつたく支障をきたさないような高品質のホットコイルを高能率に生産するためには、現在のロール材質ではまだ十分とはいはず、ますます酷な条件

Table 4. Results of forged cast iron roll (wire rod mill).

	Ex. 1		Ex. 2		Ex. 3	
	Ductile	NT-H	Ductile	NT-H	Ductile	NT-H
Hardness	55±3°	53°	55±3°	55°	55±3°	58°
Classification	No 1-No 4 roll in billet stand of continuous mill		No 1-No 3 roll in roughing stand of continuous mill		No 4-No 5 roll in roll stand of continuous mill	
Roll size (dia.) × (length) (mm)	525×900		460×1050		430×1050	
Dressing (mm)	50	51	45	44	45	45
Number of dressing times	3	4	5	6	6	5
Rolled products per one dressing (t)	12 060	96 073	12 000	84 835	12 016	40 614
Rolled products per one mm dressing (t/mm)	2 026	7 535	1 340	4 750	1 602	4 512
Total rolled product (t)	101 300	384 292	60 300	209 010	72 100	203 050
Ratio of t/mm (%)	100	372	100	354	100	282
Note						

Fig. 18. Wear amount of forged cast iron roll (H 250×125 V<sub>5</sub>H roll).

のもとでも使用に耐える新しい材質のロールの開発がまたられている。

Table 5 にホットストリップ用仕上前段ワークロールの圧延実績を示す。同一圧延条件下で仕上前段ワークロールに使用された鍛造白鋳鉄ロールは  $t / \text{mm}$  でアドマイトロールの約 40 % 増しの成績がえられた。鍛造白鋳鉄ロールはホットストリップ用ワークロールとして試用されて日も浅く、まだ十分な性能を發揮するまでにいたっていないが、どれほど適応するかに関しては今後の材質研究の成果にかかつている。

## 5. 結 言

本報は熱間圧延ロールとして近年使用されるようになつた新しい材質の鍛造白鋳鉄ロールの材質特性を明らかにするとともに、その試用結果について報告した。

機械的に破壊された熱的安定度の高い微細な炭化物が粘着性のある強靭な基地中に多量に分散析出した複合材料的組織をもち、強靭で熱き裂にたいする感受性が小さく、高温強度の大きい鍛造白鋳鉄ロールが、鋼材圧延の各分野で広範囲に使用できるよう、さらに一層の材質改善を加えていきたいと考える。

## 文 献

- 1) E. PIWOWARSKY : Die Spanlose Verformung des Gubbeisens, (1958), p. 812
- 2) H. NIPPER and E. PIWOWARSKY : Gießerei, 28 (1941), p. 305

Table 5. Results of application of forged cast iron roll (hot strip mill).

	Ex. 1		Ex. 2	
Grade	Adamite	NT-H	Adamite	NT-H
Hardness (Hs)	45~50°	48°	45~50°	48°
Classification	No 1-No 2 hot strip roll in finishing stand		No 1-No 2 hot strip roll in finishing stand	
Roll size (dia.) × (length) (mm)	545 × 1 092		686 × 2 057	
Dressing (mm)	3 800	3 900	4 200	4 178
Number of dressing times	65	865	996	120
Rolled products per one dressing(t/time)	615	660	1 050	1 263
Rolled products per one mm of dressing (t/mm)	1 050	1 463	2 500	3 633
Total rolled products (t)	40 000	57 125	104 400	151 600
Ratio of t/mm(%)	100	139	100	145
Note				

- 3) E. PIWOWARSKY and A. WIRTMOSER : Foundry Trade J., 81 (1947), p. 125  
 4) N. H. POLAKOWSKY : Metal Progress, 64 (1953), p. 180  
 5) C. A. AUSTIN : Foundry, 82 (1954), p. 86  
 6) 佐藤, 松倉 : 鉄と鋼, 50 (1964), p. 2037  
 7) 中村, 大浜 : 鋸物, 36 (1964)  
 8) 佐藤, 松倉, 松田 : 鉄と鋼, 51 (1965), p. 1059  
 9) R. BARTON : Metal Forming, 33 (1966), p. 432  
 10) 佐藤, 松倉, 横部 : 鉄と鋼, 55 (1969), S 673  
 11) 佐藤, 松倉, 横部 : 鉄と鋼, 55 (1969) S 674  
 12) 松田, 大城, 宮川 : 鋸物, 41 (1969), p. 692  
 13) 佐藤, 松倉, 横部 : 鉄と鋼, 56 (1970), Oct. 発表予定  
 14) 佐藤, 松倉, 横部 : 鋸物, 42 (1970), Oct. 発表予定  
 15) 森住, 佐藤, 松倉 : アメリカ特許 (1969), 5423, 250, ドイツ特許 (1969) 1287, 593 グレートブリテンおよび北部アイルランド連合王国特許 (1968)

- 1, 117, 025 など  
 16) 佐藤, 松倉, 横部 : 鉄と鋼, 55 (1969), S 190  
 17) 佐藤, 松倉, 松本 : 鉄と鋼, 54 (1968), S 224  
 18) C. B. POST, and M. C. FETZER, and W. H. FENSTERMACHER : Trans. ASM, 35 (1945), p. 91  
 19) A. ROSE, and L. RADEMACHER : Stahl u. Eisen, 76 (1956), 1571  
 20) 河合, 小松, 竹下, 小早川 : 鉄と鋼, 43 (1957) p. 975  
 21) V. G. BANDEL and H. C. HAUMER : Stahl u. Eisen, 84 (1964) p. 935  
 22) 利岡, 雅賀, 栗山 : 鉄と鋼, 54 (1968), p. 422  
 23) 佐藤, 松倉, 鎌田 : 鉄と鋼, 53 (1967), S 90  
 24) 佐藤, 松倉, 松田 : 鉄と鋼, 56 (1970), Oct. 発表予定  
 25) 藤原 : 日本国金属学会誌, 21 (1961), p. 1631  
 26) 佐藤, 松倉, 伴 : 鉄と鋼, 52 (1966), S 63  
 27) W. SIEFER : Gießeri, 55 (1968), p. 737  
 28) 佐藤, 松倉, 松本 : 鉄と鋼, 54 (1968), S 654